

لَهُ الْحَمْدُ لِلّٰهِ  
وَالْحَمْدُ لِلّٰهِ  
وَالْحَمْدُ لِلّٰهِ



دانشگاه تربیت مدرس  
دانشکده فنی و مهندسی

### پایان نامه دوره‌ی کارشناسی ارشد مهندسی برق-الکترونیک

### شبیه سازی موجبر پلاسمونی مبتنی بر ساختار گرافن-فلز

مرتضی یاراحمدی

استاد راهنما:

پروفسور محمد کاظم مروج فرشی

استاد مشاور:

دکتر لیلا یوسفی

۱۳۹۳ پائیز



دانشگاه فریت مدرس  
دانشکده مهندسی برق و کامپیوتر

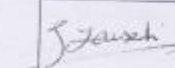
تاییدیه اعضای هیات داوران حاضر در جلسه دفاع از پایان نامه کارشناسی ارشد

آقای مرتضی یاراحمدی پایان نامه ۶ واحدی خود را با عنوان شبیه سازی موجبر

پلاسمونی بر پایه ی ساختار گرافن - فلز در تاریخ ۱۳۹۳/۹/۲۶ ارائه کردند.

اعضای هیات داوران نسخه هایی این پایان نامه را از نظر فرم و محتوا تایید کردند، پذیرش آنرا

برای اخذ درجه کارشناسی ارشد الکترونیک پیشنهاد می کنند.

اعضا	رتبه علمی	نام و نام خانوادگی	عصر هیات داوران
	استاد	دکتر محمد-کاظم مروم قرشی	استاد راهنمای
	استادیار	دکتر لیلا یوسفی	استاد مشاور
	استادیار	دکتر سارا درباری	استاد ناظر
	استاد	دکتر رحیم فائز	استاد ناظر
	استادیار	دکتر سارا درباری	مدیر گروه (یا نماینده گروه تخصصی)

این فسخه به هنوان فسخه فهایی  
و پایان نامه/ پرسناله عجود تأثییر نداشت

امضای استاد راهنمای

دانشکده برق

دانشکده کامپیوuter

## آیین‌نامه حق مالکیت مادی و معنوی در مورد نتایج پژوهش‌های علمی دانشگاه تربیت مدرس

مقدمه: با عنایت به سیاست‌های پژوهشی و فناوری دانشگاه در راستای تحقق عدالت و کرامت انسانها که لازمه شکوفایی علمی و فنی است و رعایت حقوق مادی و معنوی دانشگاه و پژوهشگران، لازم است اعضاً هیات علمی، دانشجویان، دانشآموختگان و دیگر همکاران طرح، در مورد نتایج پژوهش‌های علمی که تحت عنوانین پایان‌نامه، رساله و طرحهای تحقیقاتی با همانگی دانشگاه انجام شده است، موارد زیر را رعایت نمایند:

ماده ۱- حق نشر و تکثیر پایان‌نامه/ رساله و درآمدهای حاصل از آنها متعلق به دانشگاه می‌باشد ولی حقوق معنوی پدید آورندگان محفوظ خواهد بود.

ماده ۲- انتشار مقاله یا مقالات مستخرج از پایان‌نامه/ رساله به صورت چاپ در نشریات علمی و یا ارائه در مجامع علمی باید به نام دانشگاه بوده و با تایید استاد راهنمای اصلی، یکی از اساتید راهنمای، مشاور و یا دانشجو مسئول مکاتبات مقاله باید. ولی مسئولیت علمی مقاله مستخرج از پایان‌نامه و رساله به عهده اساتید راهنمای و دانشجو می‌باشد.

تبصره: در مقالاتی که پس از دانشآموختگی بصورت ترکیبی از اطلاعات جدید و نتایج حاصل از پایان‌نامه/ رساله نیز منتشر می‌شود نیز باید نام دانشگاه درج شود.

ماده ۳- انتشار کتاب، فرم افزار و یا آثار ویژه (اثری هنری مانند فیلم، عکس، نقاشی و نمایشنامه) حاصل از نتایج پایان‌نامه/ رساله و تمامی طرحهای تحقیقاتی کلیه واحدهای دانشگاه اعم از دانشگاه‌ها، عراکز تحقیقاتی، پژوهشگاه‌ها، پارک علم و فناوری و دیگر واحدهای باید با محور کتبی صادره از معاونت پژوهشی دانشگاه و براساس آینین نامه‌های مصوب انجام شود.

ماده ۴- ثبت اختراع و تدوین دانش فنی و یا ارائه یافته‌ها در جشنواره‌های ملی، منطقه‌ای و بین‌المللی که حاصل نتایج مستخرج از پایان‌نامه/ رساله و تمامی مطرحهای تحقیقاتی دانشگاه باید با همانگی استاد راهنمای یا مجری طرح از طریق معاونت پژوهشی دانشگاه انجام گیرد.

ماده ۵- این آیین‌نامه در ۵ ماده و یک تبصره در تاریخ ۱۵/۷/۸۷ در شورای پژوهشی و در تاریخ ۲۲/۴/۸۷ در هیأت رئیسه دانشگاه به تایید رسید و در جلسه مورخ ۱۵/۷/۸۷ شورای دانشگاه به تصویب رسیده و از تاریخ تصویب در شورای دانشگاه لازم‌الاجرا است.

«اینجانب، رفته در این دانشگاهی رشت، امیر، ورودی سال تحصیلی ۸۸-۸۹  
دانشگاهی رفته در این دانشگاهی رشت، امیر، ورودی سال تحصیلی ۸۸-۸۹  
مقطع دانشگاهی رفته در این دانشگاهی رشت، امیر، ورودی سال تحصیلی ۸۸-۸۹  
مادی و معنوی در مورد نتایج پژوهش‌های علمی دانشگاه تربیت مدرس را در انتشار یافته‌های علمی مستخرج از پایان‌نامه/ رساله تحصیلی خود رعایت نمایم. در صورت تخلف از مقادیر آینین نامه فوق الاشعار به دانشگاه وکالت و نمایندگی می‌دهم که از طرف اینجانب نسبت به لغو امتیاز اختراع بنام بنده و یا هر گونه امتیاز دیگر و تغییر آن به نام دانشگاه اقدام نماید. ضمناً نسبت به جبران فوری ضرر و زیان حاصله بر اساس برآورده دانشگاه اقدام خواهم نمود و بدینوسیله حق هر گونه اعتراض را از خود سلب نمودم»

امضا: .....  
تاریخ: ۱۵/۷/۸۷

### آیین نامه چاپ پایان نامه (رساله) های دانشجویان دانشگاه تربیت مدرس

نظر به اینکه چاپ و انتشار پایان نامه (رساله) های تحصیلی دانشجویان دانشگاه تربیت مدرس، ممکن بخشی از فعالیتهای علمی - پژوهشی دانشگاه است بنابراین به منظور آگاهی و رعایت حقوق دانشگاه دانش آموختگان این دانشگاه نسبت به رعایت موارد ذیل متعهد می شوند:

ماده ۱: در صورت اقدام به چاپ پایان نامه (رساله) خود، مراتب را قبل از طور کنی به «دفتر نشر آثار علمی» دانشگاه اطلاع دهد.

ماده ۲: در صفحه سوم کتاب (یس از برگ شناسیه) عبارت ذیل را چاپ کنند:  
«کتاب حاضر، حاصل پایان نامه کارشناسی ارشد / رساله دکتری نگارنده در رشته  
دانشگاه تربیت مدرس به راهنمایی

سال سرکار خاتم احباب آقای دکتر ، مشاوره سرکار خاتم احباب آقای دکتر  
و مشاوره سرکار خاتم احباب آقای دکتر از آن دفاع شده است»

ماده ۳: به منظور جبران بخشی از هزینه های انتشارات دانشگاه، تعداد یک درصد شمارگان کتاب (در هر نوبت چاپ) را به «دفتر نشر آثار علمی» دانشگاه می تواند مازاد نیاز خود را به نفع مرکز نشر در معرض فروش قرار دهد.

ماده ۴: در صورت عدم رعایت ماده ۳، ۵٪ بهاي شمارگان چاپ شده را به عنوان خسارت به دانشگاه تربیت مدرس، تأديه کند.

ماده ۵: دانشجو تعهد و قبول می کند در صورت خودداری از برداخت بهاي خسارت، دانشگاه می تواند خسارت مذکور را از طریق مراجع قضایی مطالبه و وصول کند؛ به علاوه به دانشگاه حق می دهد به منظور استیفاده حقوق خود، از طریق دادگاه، معادل وجه مذکور در ماده ۴ را می محل توقیف کتابهای عرضه شده نگارنده برای فروش تأمین نماید.

ماده ۶: اینجانب **رهنخ برای هر کجا** دانشجوی رشته **(هر رساله)** مقطع کارشناسی ارشد تعهد فوق وضمنات اجرایی آن را قبول کرده، به آن ملزم می شوم

نام و نام خانوادگی: **رسانی برای هر کجا**  
تاریخ و امضا: **۹۶/۰۱/۱۵**

# تەممۇت

ب

## مەرىم عزىز

كە وجود آنها جايى براي آرزوئى مېكىرى نىڭذاشت

دالىكە دا نازارەم إ فرشته آسمونى  
گۈتنە كە زىير پاتە او بەھىشىتە جاودونى  
نىمى ئام و دار دۇنيا يە تارى دىگىسىنىسىت  
أر دىمە تو جووجىخايى جون شىرىينم مىيىم سىت  
چىنى شوياكە نوھووقتى نىشىسى و پا گووارىم  
دالىكەم چىشيات هەم آسىمونو هەم آسارىم  
أر كە سوزىم و أر كە گۈرمى گۈرمى دەسە تو دارىم  
أر كە سوزىم و بەھارىم هەر چە دارىم د تو دارىم

بِنَامِ آنکه جان را فلکت آموخت      چراغ دل بِنور جان برافروخت  
ز فضلش هر دو عالم کشت روشن      ز فیضش خاک آدم کشت گلشن

نخست خداوند را شکرم که توفیق کسب علم در محضر اساتید که اقدر را نصیم فرمود. سپس پایرگشت که فتن از دود و صلووات بر محمد (ص) و ائمه مصصوم (ع)، بهترین سپاس هارا تقدیم استاد بزرگوارم جناب آقای دکتر مروج فرشی می‌کنم که در این مدت درس علم و اخلاق و زنگی از ایشان آموختم. برای ایشان آرزوی سلامتی و طول عمر دارم. از زحات و راهنمایی هایی بی‌دین سرکار خانم دکتر یوسفی که به‌مواره راه‌گشایی بود، نهایت سپاس را دارم. از استاد ارجمند جناب آقای دکتراحمدی که نکته های علمی و اخلاقی زیادی از ایشان آموختم، شکر فراوان دارم. کمال شکر دارم از استاد فریخته جناب آقای دکتر بکیر که صفا و صمیمت ایشان خط های شیرینی دوران تحصیلم را رقم زد. از سرکار خانم دکتر دباری بحاظ کلاس های درسی پرباران نهایت سپاس را دارم. از دوستان بزرگوارم دآزمایشگاه هایی که روده الکترونیک نوری بخصوص آقای شاعی بحاظ چک ہوا راهنمایی هایشان صمیمانه شکر می‌کنم. در آخر بوسه بر دست پدر و مادر عزیزم می‌زنم و از خانواده همراهانم که به‌مواره نور امید و دلگرمی ام بوده اند، سپاسگزاری می‌کنم.

## چکیده

درابتدا مروری گذرا بر کارهای انجام شده در زمینه تولید امواج پلاسمونی سطحی با گرافن و همچنین مدولاتورهای تراهرتز ارائه و شرایط لازم برای ایجاد امواج پلاسمونی در سطح فلز بررسی می شود. سپس، با بهره‌گیری از رابطه پاشندگی گرافن و رابطه کوبو، خواص پلاسمونی گرافن مرور خواهد شد. آنگاه، پس از توضیح درباره روش مدل کردن مواد مورد استفاده، برای درستی آزمایی نتایج شبیه سازی، دو مقاله تازه منتشر شده در حوزه پلاسمونی بازتولید می شود. پس از اطمینان یافتن از درستی روش محاسبه، به کمک ویژگی کوکپذیری گرافن و شرایط بهینه برای طول انتشار امواج پلاسمون سطحی در فرکانس کاری ۶ تراهرتز، با روش عناصر متناهی در سه بعد شبیه سازی و تحلیل افزارهای انجام خواهد شد.

نخستین افزاره طراحی شده، یک سوییچ پلاسمونی برپایه گرافن با طول ۵ مرتبه کوتاهتر از طول موج ورودی است. ضریب عبور توان این سوییچ در شرایط بهینه برای حالت روشن و نسبت آن به ضریب حالت خاموش، به ترتیب برابر با  $61 = 94/26$  ON/OFF است. در همین شرایط عمق مدولاسیون این افزاره برابر  $98/37\%$ ، که نسبت به بزرگترین عمق مدولاسیون گزارش شده  $23\%$  عمیق تر است.

براساس ابعاد و شرایط بهینه به دست آمده برای یک موجبر پلاسمونی مستقیم، یک سوییچ پلاسمونی Y شکل (دو شاخه) با طول کوتاهتر از  $50\%$  طول موج ورودی طراحی خواهد شد. نتایج حاصل از شبیه سازی سه بعدی نشان می دهد. ضریب عبور توان هنگامی که هردو بازو به طور همزمان روشن و نسبت آن به حالتی که هردو خاموش اند، به ترتیب برابر  $87/2 = 8220$  ON/OFF است. در ضمن عمق مدولاسیون این سوییچ برابر  $98/99\%$  است.

نهایتاً یک گیت منطقی AND با ساختاری مشابه ساختار اولین سوییچ، و یک گیت منطقی OR مت Shankل از دو ساختار Y شکل رو در رو، طراحی خواهد شد. این افزاره ها در مدارهای نوری دیجیتال کاربرد فراوانی دارند. ضریب عبور توان برای حالت منطقی "۱" و نسبت آن به حالت "۰" برای گیت AND، به ترتیب، برابر با  $92/44 \approx 200$  ON/OFF و برای گیت OR برابر با  $73/03 \approx 200$  ON/OFF است.

**کلید واژه:** پلاسمون های سطحی، گرافن، سوییچ، مدولاتور، گیت منطقی

## فهرست مطالب

### صفحه

### عنوان

ج	فهرست علایم و نشانه‌ها
۵	فهرست جدول‌ها
۵	فهرست شکل‌ها
۱	<b>فصل ۱ - مقدمه</b>
۱	- ۱-۱ پیشگفتار
۱	- ۲-۱ مروری بر کارهای انجام شده در زمینه گرافن پلاسمونیک
۲	- ۳-۱ مروری بر مدولاتورهای تراهرتز
۳	- ۱-۳-۱ مدولاسیون تمام نوری در نیمه هادی‌ها و ساختارهای فرامواد
۵	- ۲-۳-۱ مدولاسیون الکترونیکی در نیمه هادی‌ها و فرامواد
۷	- ۳-۳-۱ مدولاسیون الکتریکی در گرافن
۸	- ۴-۳-۱ مدولاتورهای حرارتی
۱۰	- ۵-۳-۱ مدولاتورهای مبتنی بر فوتونیک کریستال
۱۳	<b>فصل ۲ - تئوری و فیزیک حاکم</b>
۱۳	- ۱-۲ پیشگفتار
۱۳	- ۲-۲ پلاسمونیک
۱۳	- ۱-۲-۲ مدل درود
۱۴	- ۲-۲-۲ امواج پلاسمون پلاریتون‌های سطحی در فصل مشترک عایق و فلز
۱۶	- ۳-۲-۲ برانگیزش پلاسمون‌های سطحی
۱۸	- ۳-۲ گرافن
۲۰	- ۱-۳-۲ ویرگی‌های گرافن
۲۰	- ۱-۱-۳-۲ قابلیت کوک پذیری خواص نوری گرافن
۲۱	- ۲-۱-۳-۲ قابلیت مجتمع‌سازی
۲۱	- ۳-۱-۳-۲ انتشار کم تلف موج پلاسمونی
۲۱	- ۲-۳-۲ محاسبه هدایت نوری گرافن
۲۳	- ۳-۳-۲ بررسی نحوه انتشار پلاسمون-پلاریتون‌های سطحی در گرافن
۲۴	- ۱-۳-۳-۲ روش محاسبه رابطه پاشندگی مد پلاسمونی گرافن به کمک شرایط مرزی
۲۵	- ۲-۳-۳-۲ محاسبه مد پلاسمونی گرافن با در نظر گرفتن هدایت حجمی $\sigma_v$
۲۷	- ۴-۳-۲ رسانایی گرافن در گستره فرکانسی تراهرتز
۲۹	<b>فصل ۳ - نحوه مدل سازی مواد مورد استفاده در طراحی‌ها</b>
۲۹	- ۱-۳ پیشگفتار

۲۹	مدل سازی اکسید سیلیکون	-۲-۳
۳۰	مدل سازی طلا	-۳-۳
۳۰	مدل سازی گرافن	-۴-۳
۳۰	بایاس دهی گرافن	-۵-۳
۳۱	مشبندی	-۶-۳
۳۲	<b>فصل ۴ - افزارهای پیشنهادی و نتایج شبیه سازی آنها</b>	
۳۳	پیشگفتار	-۱-۴
۳۳	باز آفرینی مقاله موجبر پلاسمونی مبتنی بر ساختار گرافن-فلز	-۲-۴
۴۱	باز تولید مقاله موجبر پلاسمونی هیبریدی	-۳-۴
۴۹	شبیه سازی سه بعدی ساختار توری	-۴-۴
۵۱	سوییچ پلاسمونی مبتنی بر گرافن	-۵-۴
۵۶	بهینه سازی افزاره	-۱-۵-۴
۵۶	۱-۱-۵-۴ - گام نخست (تشخیص پارامترهای تأثیرگذار)	
۵۷	۲-۱-۵-۴ - گام دوم (حدس اولیه پارامترها)	
۵۷	۳-۱-۵-۴ - گام سوم (بهینه سازی عرض ساختار)	
۵۹	۴-۱-۵-۴ - گام چهارم (بهینه سازی ضخامت لایه سیلیکا جدا کننده گرافن و طلا)	
۵۹	۵-۱-۵-۴ - گام پنجم (بهینه سازی طول سوییچ)	
۶۲	۶-۱-۵-۴ - گام ششم (تکرار روند بهینه سازی با پارامترهای ذکر شده در جدول ۴-۶)	
۶۲	• بهینه سازی عرض ساختار	
۶۳	• بهینه سازی ضخامت لایه سیلیکا جدا کننده گرافن و طلا	
۶۴	• بهینه سازی طول ساختار	
۶۶	-۲-۵-۴ - جمع بندی و مقایسه	
۶۷	۶-۴ - مدولاتور پلاسمونی مبتنی بر گرافن:	
۶۹	۷-۴ - سوییچ پلاسمونی Y شکل	
۷۲	۸-۴ - گیت منطقی AND	
۷۴	۹-۴ - گیت منطقی OR	
۷۷	<b>فصل ۵ - نتیجه گیری و پیشنهادها</b>	
۷۷	-۱-۵ - جمع بندی و نتیجه گیری	
۷۸	-۲-۵ - پیشنهادها برای کارهای آینده	
۷۹	<b>فهرست مراجع</b>	
۸۲	<b>واژه نامه انگلیسی به فارسی</b>	
۸۵	<b>واژه نامه فارسی به انگلیسی</b>	

## فهرست علایم و نشانه‌ها

عنوان	علامت اختصاری
ضریب وظیفه	$\xi$
فرکانس زاویه ای	$\omega$
پتانسیل شیمیایی	$\mu_c$
سرعت فرمی	$v_F$
دما	$T$
نرخ پراکندگی	$\Gamma$
هدایت نوری	$\sigma$
ضخامت گرافن	$\Delta$
ثابت انتشار	$\beta$
عدد موج	$k_0$
گزندھی الکتریکی	$\varepsilon$
گزندھی خلا	$\varepsilon_0$
طول موج پلاسمون سطحی	$\lambda_{SP}$
ضریب شایستگی	$FOM$
طول موج در فضای آزاد	$\lambda_0$
میدان الکتریکی	$E$
میدان مغناطیسی	$B$
ثابت تضعیف	$\gamma$

## فهرست جداول‌ها

عنوان	صفحه
جدول ۱-۱: مقایسه انواع مدولاتورهای تراهertz	۱۲
جدول ۱-۴: پارامترهای مورد استفاده در شبیه سازی موجبر پلاسمونی مرجع [۴۱]	۳۴
جدول ۲-۴: پارامترهای شبیه سازی موجبر هیرید پلاسمونی [۴۶]	۴۱
جدول ۳-۴: پارامترهای شبیه سازی ساختار توری در حالت سه بعدی	۵۱
جدول ۴-۴: مقادیر پارامترهای سوئیچ پلاسمونی طراحی شده.	۵۲
جدول ۴-۵: حدس اولیه پارامترها در اولین بهینه سازی ساختار.	۵۷
جدول ۴-۶: مقادیر پیشنهادی برای افزاره پس از اولین بهینه سازی.	۶۲
جدول ۷-۴: مناسب ترین پارامترهای سوئیچ پلاسمونی طراحی شده.	۶۵
جدول ۸-۴: مقدار عبور در چهار حالت مختلف سوئیچ دو شاخه Y شکل.	۷۱
جدول ۹-۴: گزارش نهایی مشخصات سوئیچ دو شاخه Y شکل.	۷۲
جدول ۱۰-۴: میزان عبور پلاسمون های سطحی در چهار حالت منطقی گیت AND	۷۴
جدول ۱۱-۴: میزان عبور پلاسمون های سطحی در چهار حالت منطقی گیت OR.	۷۶

## فهرست شکل‌ها

عنوان	صفحه
شکل ۱-۱: ساختار مدولاتور فرکانسی با ساختار هیبرید فرامواد/ نیمه هادی [۲۰].	۵
شکل ۱-۲: ساختار مدولاتور الکترونیکی پیشنهادی مرجع [۲۱].	۵
شکل ۱-۳: شمای ساختار مدولاتور Meta/ nGaAs [۲۲].	۶
شکل ۱-۴: ساختار مدولاتور Meta/ nGaAs [۲۳].	۶
شکل ۱-۵: شمای مدولاتور تراهertz با ساختار شاتکی فراماده/ گالیم آرسناید [۲۴].	۷
شکل ۱-۶: مدولاتور تراهertz با ساختار شاتکی [۲۶].	۷
شکل ۱-۷: شمای ساختار مدولاتور گرافنی با کنترل الکتریکی [۷].	۸
شکل ۱-۸: شمای مدولاتور مبتنی بر ساختار Graphene [۲۷].	۸
شکل ۱-۹: مدولاتور حرارتی با استفاده از حلقه های تشیدیدگر شکاف دار طلا بر بستر اکسید وانادیوم [۲۸].	۹
شکل ۱-۱۰: مدولاتور حرارتی با استفاده از حلقه های تشیدیدگر از جنس ابر رسانای حرارتی (YBCO) [۲۹].	۹
شکل ۱-۱۱: مدولاتور مبتنی بر PC یک بعدی با نقص GaAs [۳۰].	۱۰
شکل ۱-۱۲: مدولاتور تراهertz مبتنی بر فوتونیک کریستال غیرخطی با کنترل نوری [۳۱].	۱۱
شکل ۱-۲: (الف) نحوه انتشار پلاسمون های سطحی (ب) نمایش کاهش دامنه میدان الکتریکی با فاصله گرفتن از فصل مشترک [۳۸].	۱۴
شکل ۲-۱: نمودار پاشندگی SPPs در فصل مشترک عایق و فلز (ب) پروفایل میدان مغناطیسی پلاسمون های سطحی برای دو حالت $\omega = 0.5\omega_{SP}$ (خط قرمز توپر) و $\omega = 0.8\omega_{SP}$ (خط چین آبی رنگ) [۳۷].	۱۶
شکل ۳-۱: روش‌های مختلف تهییج پلاسمون های سطحی. (الف) استفاده از منشور (ب) ساختار توری (د) برانگیزش با استفاده از میدان های نزدیک [۳۸].	۱۷
شکل ۴-۱: منحنی های پاشندگی به ترتیب، نور در محیط آزاد، نور خروجی از منشور، پلاسمون های سطحی مرز منشور / فلز و پلاسمون های سطحی مرز هوا / فلز [۳۸].	۱۷
شکل ۵-۱: شمای لایه گرافن و پیوندهای ۵ و $\pi$ [۳۷].	۱۸
شکل ۶-۱: محاسبه نوار انرژی گرافن از دو روش (الف) تنگ بست و (ب) DFT [۳۷].	۲۰
شکل ۷-۱: (الف) قسمت حقیقی و (ب) قسمت موهومی رسانایی در دمای $T = 300K$ .	۲۸
شکل ۱-۳: ضریب شکست حقیقی و موهومی اکسید سیلیکون در مراجع مختلف [۴۴, ۴۵].	۳۰
شکل ۲-۳: نحوه تغییرات پتانسیل شیمیایی گرافن با اعمال بایاس الکتریکی.	۳۱
شکل ۳-۳: مشبندی در نرم‌افزار COMSOL.	۳۲
شکل ۱-۴: موجبر پلاسمونی مبتنی بر ساختار گرافن-فلز [۴۱].	۳۳

- شکل ۲-۴: ساختار توری استفاده شده برای برانگیزش پلاسمون های سطحی گرافن. ۳۴
- شکل ۳-۴: پروفایل میدان الکتریکی نرمالیزه شده ساختار توری (الف)  $\frac{\Lambda}{\lambda_p} = 1.5$  [۴۱]..... ۳۶
- شکل ۴-۴: پروفایل میدان الکتریکی ساختار توری (الف)  $\frac{\Lambda}{\lambda_p} = 1.5$  (ب)  $\frac{\Lambda}{\lambda_p} = 1.5$  ۳۷
- شکل ۵-۴: (الف) ضریب جذب بر حسب ضریب تسهیم. (ب) طیف عبور بر حسب فرکانس برای سه پتانسیل شیمیایی  $0/2$  (سیاه)،  $0/25$  (آبی) و  $0/3$  الکترون ولت (قرمز). (ج) ضریب جذب بر حسب دوره تناوب ساختار توری در حالیکه ضریب وظیفه  $0/98$  در نظر گرفته شده است [۴۱]. ۳۷
- شکل ۶-۴: (الف) ضریب جذب بر حسب ضریب تسهیم. (ب) طیف عبور بر حسب فرکانس برای سه پتانسیل شیمیایی  $0/2$ ،  $0/25$  و  $0/3$  الکترون ولت. (ج) ضریب جذب بر حسب دوره تناوب ساختار توری. ۳۸
- شکل ۷-۴: (الف) قسمت حقیقی و (ب) قسمت موهومی ضریب شکست مد بر حسب تغییرات فرکانس و ضخامت اکسید [۴۱]. ۴۰
- شکل ۸-۴: (الف) قسمت حقیقی و (ب) قسمت موهومی ضریب شکست مد بر حسب تغییرات فرکانس و پتانسیل شیمیایی [۴۱]. ۴۰
- شکل ۹-۴: شماتیک موجبر پلاسمونی شبیه سازی شده در مرجع [۴۶]. ۴۱
- شکل ۱۰-۴: ساختار رسم شده در نرم افزار کامسول با استفاده از پارامترهای جدول ۲-۴. ۴۲
- شکل ۱۱-۴: پروفایل میدان الکتریکی موجبر پلاسمونی. توزیع میدان  $E_y(0, y)$  و  $E_y(x, 0)$  نیز در شکل ۴۲ نشان داده شده است [۴۶].
- شکل ۱۲-۴: پروفایل میدان الکتریکی مد پلاسمونی شبیه سازی شده ساختار شکل ۱۰-۴. ۴۳
- شکل ۱۳-۴: بررسی تغییرات طول انتشار مد اصلی به ازای تغییرات  $w_{co}$  و  $h_{SiO_2}$  [۴۶]. ۴۴
- شکل ۱۴-۴: پروفایل میدان الکتریکی مد اصلی موجبر زمانی که  $h_{SiO_2} = 5nm$  و  $w_{co} = 300nm$  هستند. ۴۴
- شکل ۱۵-۴: پروفایل میدان الکتریکی مد اصلی موجبر زمانی که  $w_{co} = 300nm$  و  $h_{SiO_2} = 20nm$  هستند. ۴۵
- شکل ۱۶-۴: پروفایل میدان الکتریکی مد اصلی موجبر زمانی که  $w_{co} = 300nm$  و  $h_{SiO_2} = 50nm$  هستند. ۴۵
- شکل ۱۷-۴: (الف) قسمت حقیقی و (ب) قسمت موهومی ضریب شکست مد بر حسب تغییرات فرکانس و ضخامت اکسید. ۴۶
- شکل ۱۸-۴: (الف) قسمت حقیقی و (ب) قسمت موهومی ضریب شکست مد بر حسب تغییرات فرکانس و پتانسیل شیمیایی. ۴۶
- شکل ۱۹-۴: پروفایل میدان الکتریکی برای چهار مد اول پلاسمون پلاریتون های سطحی برای ضخامت های به ترتیب،  $8 nm$ ،  $50 nm$  و  $200 nm$  ناحیه اکسید جداگانه گرافن و فلز طلا. ۴۷
- شکل ۲۰-۴: (الف) قسمت حقیقی و (ب) قسمت موهومی ضریب شکست مؤثر ساختار (ج) طول موج پلاسمون های سطحی و (د) طول انتشار پلاسمون های سطحی بر حسب تغییرات پتانسیل شیمیایی... ۴۸

- شكل ۲۱-۴: نمودار ضریب جذب بر حسب فرکانس برای سه مقدار پتانسیل شیمیایی ۲۰۰، ۲۵۰ و ۳۰۰ میلی الکترون ولت..... ۴۹
- شكل ۲۲-۴: شمایی موجبر شبیه سازی شده در حالت سه بعدی. ..... ۵۰
- شكل ۲۳-۴: (الف) نمای کنار و (ب) نمای بالای پروفایل میدان الکتریکی پلاسمون پلیتون های سطحی بر انگیخته شده در ساختار توری (میدان الکتریکی بر حسب  $v/m$  و ابعاد بر حسب nm نمایش داده شده است). ..... ۵۰
- شكل ۲۴-۴: شماتیک سوئیچ پلاسمونی طراحی شده. ..... ۵۲
- شكل ۲۵-۴: (الف) پروفایل توزیع مؤلفه  $E_x$  میدان الکتریکی در طول سوئیچ (ب) نمای بالا و (ج) نمای کنار در حالت خاموش و (د) نمای بالا و (ه) نمای کنار در حالت روشن. (و) تغییرات میدان الکتریکی کل در حالت روشن و خاموش در طول بلوک ۲. ..... ۵۳
- شكل ۲۶-۴: پروفایل توزیع میدان الکتریکی در درگاه خروجی (صفحه z-y) برای حالت خاموش و روشن سوئیچ. ..... ۵۴
- شكل ۲۷-۴: پروفایل توزیع میدان الکتریکی در طول سوئیچ برای حالت های روشن و خاموش (الف) نمای کنار و (ب) نمای بالا. ..... ۵۵
- شكل ۲۸-۴: (الف) طیف عبور در حالت روشن سوئیچ و (ب) حالت خاموش (ج) نسبت ON/OFF ..... ۵۸
- عمق مدولاسیون بر حسب تغییرات عرض ساختار. ..... ۵۸
- شكل ۲۹-۴: (الف) منحنی طیف عبور در حالت روشن سوئیچ و (ب) حالت خاموش (ج) نسبت ON/OFF ..... ۵۹
- (د) عمق مدولاسیون بر حسب تغییرات ضخامت اکسید. ..... ۵۹
- شكل ۳۰-۴: (الف) طیف عبور در حالت روشن سوئیچ و (ب) حالت خاموش (ج) نسبت ON/OFF ..... ۶۰
- عمق مدولاسیون بر حسب تغییرات طول افزاره. ..... ۶۰
- شكل ۳۱-۴: (الف) قسمت حقیقی و (ب) قسمت موهومی ضریب شکست مؤثر ساختار بر حسب  $\mu_c$  (ج) تغییرات نمودار شایستگی موجبر و (د) طول انتشار پلاسمون های سطحی با تغییر  $\mu_c$ . ..... ۶۱
- شكل ۳۲-۴: (الف) میزان عبور در حالت های روشن و خاموش سوئیچ (ب) نسبت ON/OFF (ج) عمق مدولاسیون بر حسب تغییرات عرض ساختار. ..... ۶۳
- شكل ۳۳-۴: میزان عبور در حالت های روشن و خاموش سوئیچ بر حسب ضخامت لایه اکسید جدا کننده ساختار (الف) نسبت ON/OFF (ب) عمق مدولاسیون (ج) ..... ۶۴
- شكل ۳۴-۴: (الف) میزان عبور در حالت های روشن و خاموش سوئیچ بر حسب طول بلوک ۲ (ب) نسبت ON/OFF (ج) عمق مدولاسیون ..... ۶۵
- شكل ۳۵-۴: نمای بالا از پروفایل میدان الکتریکی سوئیچ پلاسمونی طراحی شده در ناحیه اکسید جدا کننده گرافن و فلز در طول افزاره. (الف) حالت خاموش و (ب) حالت روشن. ..... ۶۶
- شكل ۳۶-۴: طیف عبور و عمق مدولاسیون مدولاتور پلاسمونی بر حسب تغییرات  $\mu_c$  ..... ۶۷
- شكل ۳۷-۴: (الف) قسمت حقیقی و (ب) قسمت موهومی ضریب شکست مؤثر ساختار بر حسب  $\mu_c$  (ج) نمودار شایستگی موجبر و (د) طول انتشار پلاسمون های سطحی با تغییر  $\mu_c$ . ..... ۶۸

- شكل ۳۸-۴: پروفایل میدان الکتریکی (GV/m) با تغییر پتانسیل شیمیایی بلوک ۲. (الف) بازه ۰ تا ۳۰۰ meV و (ب) بازه ۱eV تا ۳۰۰ meV ..... ۶۸
- شكل ۳۹-۴: نمای بالای پروفایل های میدان الکتریکی در ناحیه اکسید بین گرافن و فلز با تغییر پتانسیل شیمیایی گرافن از ۰ تا ۱eV برای مدولاتور پیشنهادی ..... ۶۹
- شكل ۴۰-۴: طول موج پلاسمون های سطحی انتشاری در بلوک ۲ بر حسب تغییرات  $\mu$ . ..... ۶۹
- شكل ۴۱-۴: شمای سه بعدی ساختار سوئیچ پلاسمونی Y شکل (نسبت بین ابعاد رعایت نشده است). ..... ۷۰
- شكل ۴۲-۴: نمای بالا از پروفایل میدان الکتریکی در ناحیه اکسید جدا کننده گرافن و طلا. ..... ۷۱
- شكل ۴۳-۴: شماتیک سه بعدی ساختار گیت پلاسمونی AND (نسبت بین ابعاد رعایت نشده است)... ۷۳
- شكل ۴۴-۴: نمای بالا از پروفایل میدان الکتریکی در ناحیه اکسید جدا کننده گرافن و طلا. ..... ۷۳
- شكل ۴۵-۴: شمای نحوه بایاس دهی لایه گرافن در گیت منطقی AND ..... ۷۴
- شكل ۴۶-۴: شمای سه بعدی ساختار گیت پلاسمونی OR (نسبت بین ابعاد رعایت نشده است). ..... ۷۵
- شكل ۴۷-۴: نمای بالا از پروفایل میدان الکتریکی گیت منطقی OR در ناحیه اکسید جدا کننده گرافن و طلا. ..... ۷۵

## فصل ۱ - مقدمه

### ۱-۱ - پیشگفتار

گستره فرکانسی تراهرتز به دلیل کاربردهای گوناگون از جمله مخابرات، تصویربرداری، حسگرها و... مورد توجه محققان سراسر جهان قرار دارد. در بسیاری از موارد به میزان محصورشدن<sup>۱</sup> بیشتری برای موج تراهرتز نیاز است. برای مثال در تصویربرداری های پزشکی، رزلوشن بالاتر تصویر اهمیت خاصی دارد. مجتمع سازی مدارات الکترونیکی و اپتیکی و بهره بردن از خواص غیرخطی موج تراهرتز از دیگر مثال های کاربردی اهمیت تحديد بیشتر موج تراهرتز هستند. علم پلاسمونیک شاخه علمی نوید بخشی برای رسیدن به این هدف است. در حوزه تراهرتز فلز قابلیت حمل پلاسمون های سطحی را ندارد. در سال های اخیر ثابت شد که گرافن در حوزه تراهرتز می تواند به خوبی پذیرای پلاسمون های سطحی باشد و با تلفات پایینی آنها را انتشار دهد. با استفاده از مزایای نانو پلاسمونیک مبتنی بر گرافن می توان افزارهایی پلاسمونی طراحی کرد که قابلیت مجتمع سازی با ادوات الکترونیکی در یک تراشه را داشته باشند. در واقع مشکل بزرگ بودن افزارهای اپتیکی در مقایسه با همتاها ای الکترونیکی خود و عدم امکان مجتمع سازی با ادوات الکترونیکی باعث محروم ماندن از مزیت سرعت بالای انتقال اطلاعات اپتیک در مدارهای مجتمع الکترونیکی شده است. پلاسمونیک مبتنی بر گرافن با مزایای توأم سرعت انتقال اطلاعات نزدیک به اپتیک و فشرده<sup>۲</sup> گی ابعاد در حد افزارهای الکترونیکی می تواند خلاً بین الکترونیک و فوتونیک را پر کند.

در ادامه به بررسی و مرور مقالات حوزه‌ی گرافن پلاسمونیک خواهیم پرداخت.

### ۱-۲ - مرواری بر کارهای انجام شده در زمینه گرافن پلاسمونیک

سال ۲۰۰۹ جابلن<sup>۳</sup> و همکارانش برای نخستین بار به صورت تئوری نشان دادند که گرافن آلاییده شده در فرکانس‌های کوچک‌تر از فرکانس فونون نوری ( $\hbar\omega \approx 0.2 \text{ eV}$ ) توانایی انتشار پلاسمون را دارد [۱]. سپس کاپن<sup>۲</sup> و همکارانش نشان دادند که گرافن دارای ویژگی های اتلاف کم در نواحی فرکانسی خاص، قابلیت تنظیم‌پذیری و توانایی حمایت مد پلاسمون سطحی به شدت محصور شده است؛ بنابراین گرافن می تواند گزینه مناسبی برای طراحی افزارهای کم توان و بسیار سریع باشد [۲]. نخستین مقاله تجربی در این زمینه توسط ژو<sup>۳</sup> و همکارانش در سال ۲۰۱۱ به چاپ رسید [۳]، البته در این مدت مقالات تئوری دیگری نیز به این مبحث پرداختند. آنها برانگیزش پلاسمون‌ها در آرایه‌ای از میکرو نوارهای گرافنی را

<sup>1</sup> Jablan

<sup>2</sup> Koppens

<sup>3</sup> Ju

مورد بررسی قرار دادند. این گروه دو روش برای جابجایی بیشینه نوسان‌های پلاسمونی در گسترهای وسیع از حوزه تراهertz را ارائه دادند. اولین روش تغییر عرض میکرو نوارها و دوم تغییر آلایش به کمک گیت قرار داده شده روی گرافن بود. پس از کار تجربی گروه ژو، نیکیتین<sup>۱</sup> و همکارانش طیف‌های جذب، انعکاس و عبور میکرو نوارها را مورد بررسی قرار دادند [۴]. آنها سعی داشتند که با تغییر پارامترهای ساختار و نرخ پراکندگی، مقدار جذب را افزایش دهند. از طرفی تانگراتانا‌سیری<sup>۲</sup> و همکارانش می‌خواستند نشان دهند که گرافن آلاییده و الگودهی شده، امکان جذب ۱۰۰ درصدی نور تابشی را دارد [۵]. آنها ثابت کردند که ساختار آرایه‌ای از نانو قرص‌های گرافنی قرار گرفته روی فلز و با بستر دی الکتریک، توانایی جذب کامل نور را دارد. در سال ۲۰۱۰ اندرسن<sup>۳</sup> با اعمال گیت الکتریکی مدولاتور گرافنی مبتنی بر گذارهای درون باندی<sup>۴</sup> را پیشنهاد داد [۶]. در این مدولاتور تلفات درون باندی پلاسمون‌ها توسط تغییر پتانسیل شیمیایی گرافن در فرکانس فرو سرخ میانی کنترل می‌شد. از نظر تئوری این نوع مدولاسیون امکان سرعت سوئیچ زنی بالایی را فراهم می‌کند. نمونه ساخته شده این نوع مدولاتور در مرجع [۷] آمده است. از طرفی، لیو<sup>۵</sup> و همکارانش در سال ۲۰۱۱ مدولاتور نوری پهن باند گرافنی را ساختند که در گسترهی بین  $1/۳۵ \mu\text{m}$  تا  $1/۶ \mu\text{m}$  کار می‌کرد [۸]. اساس کار این مدولاتور تنظیم الکتریکی چگالی حامل لایه‌ی گرافن بود که از این طریق گذارهای بین باندی را مدوله می‌کردند. در سال ۲۰۱۲ گروهی از آی‌بی‌ام<sup>۶</sup> افزارهای نوری با ترکیبی از پشتۀ‌های گرافن/عایق ساختند که تشیدهای پلاسمونی آن با تک لایه‌ی گرافن متفاوت بود [۹]. توسط الگوهی گرافن در پشتۀ‌ها یک فیلتر میان نگذر برای طول موج فروسرخ دور<sup>۷</sup> و با ویژگی‌های پهن باند و تنظیم پذیر ساختند.

طیف فرکانسی تابش‌های THz در گستره  $10/0$  تا  $\text{THz}$  که معادل طول موج  $3 \mu\text{m}$  تا  $3\text{mm}$  است. این گستره فرکانسی برای طراحی مدولاتورهای سریع و بسیار کارآمد مناسب است. در ادامه انواع مدولاتورهای این گستره را معرفی می‌کنیم.

### ۱-۳- مروری بر مدولاتورهای تراهertz

در تمامی روش‌های مدولاسیون<sup>۹</sup> سیگنالی حاوی اطلاعات ارسالی، سیگنال دیگری را مدوله می‌کند. سیگنال دوم که به موج حامل<sup>۱۰</sup> معروف است، سیگنالی است فرکانس بالا، برای سرعت بخشیدن در ارسال سیگنال اول. در واقع سیگنال اطلاعات بر سیگنال حامل سوار شده و از فرستنده به سمت گیرنده

<sup>1</sup> Nikitin

<sup>2</sup> Thongrattanasiri

<sup>3</sup> Anderson

<sup>4</sup> Intraband transitions

<sup>5</sup> Liu

<sup>6</sup> IBM

<sup>7</sup> Stack

<sup>8</sup> Far- infrared

<sup>9</sup> Modulation

<sup>10</sup> Carrier wave

اطلاعات ارسال می گردد. بر حسب اینکه سیگنال های اول و دوم از چه نوعی باشند نامگذاری مدولاتورها<sup>۱</sup> صورت می پذیرد. در روش تمام نوری یک موج نوری حاوی اطلاعات، خصوصیات موج نوری دیگری را تغییر می دهد یا به اصطلاح مدوله می کند. این نوع مدولاتورها بیشترین سرعت مدولاسیون در بین انواع مدولاتورها را به خود اختصاص داده اند. در مدولاتورهای الکترونیکی - نوری یک سیگنال الکترونیکی عمل مدولاسیون را بر روی سیگنال نوری دیگری انجام می دهد. و نهایتاً در مدولاتورهای حرارتی سیگنال کنترلی از جنس تغییرات دمایی است.

در این بخش روش های مختلف مدولاسیون خواص الکترومغناطیسی امواج تراهertz، مرور شده است. مدولاتورهای مختلف شامل الکترونیکی، نوری، گرافنی، مبتنی بر فرامواد<sup>۲</sup> و فوتونیک کریستالی بررسی شده است. در آخر هم مقایسه ای بین آنها انجام داده ایم.

### ۱-۳-۱- مدولاسیون تمام نوری در نیمه هادی ها و ساختارهای فرامواد

در روش مدولاسیون تمام نوری با استفاده از ساختار نیمه هادی، این چنین است که ساختار نیمه هادی بر سر راه عبور موج تراهertz قرار می گیرد. حال خواص نوری ساختار نیمه هادی توسط یک پمپ نوری کنترل می شود. با این روش موج تراهertz تابشی را مدوله می کنند. اگر انرژی سیگنال پمپ بیشتر از شکاف انرژی<sup>۳</sup> نیمه هادی باشد ( $E_g > \hbar\omega$ )، فوتون تابشی باعث تولید حامل در نیمه هادی می گردد. که زمان بازترکیب حامل معمولاً در مقیاس پیکو ثانیه و فمتو ثانیه است [۱۰]. میزان حامل های تولیدی توسط مدل درود سنجیده می شود [۱۱].

$$\sigma(\omega) = \epsilon_0 \frac{\omega_p^2 \tau}{1 - i\omega\tau} \quad 1-1$$

که  $\epsilon_0$ ،  $\omega_p$ ،  $\omega$  و  $\tau$  به ترتیب گذردهی الکترونیکی در فضای آزاد، فرکانس پلاسمما، زمان بازترکیب، فرکانس زاویه ای و هدایت نوری هستند. فرکانس پلاسمما ( $\omega_p = \frac{ne^2}{\epsilon_0 m}$ ) فرکانسی است که مواد به ازای کوچکتر از آن خواص فلزی دارند و به ازای بزرگتر از آن شفاف هستند. با استفاده از لیزرهای بسیار سریع (با عرض پالس شبیه زمان بازترکیب در نیمه هادی) برای سیگنال پمپ می توان مدولاتورهای تراهertzی با سرعت بسیار بالا طراحی کرد.

در سال ۱۹۹۱ آقایان آلیوس<sup>۴</sup> و دودل<sup>۵</sup> مدولاسیون موج تراهertz را با روش برانگیزش<sup>۱</sup> حامل های نیمه هادی سیلیکون ارائه دادند [۱۲]. فرکانس کاری این مدولاتور  $THz / ۲/۵$  و پهنهای پالس  $\tau = ۲۸ ms$

<sup>1</sup> Modulator

<sup>2</sup> Metamaterial

<sup>3</sup> Band gap

<sup>4</sup> Alius

<sup>5</sup> Dodel

است. در کارهای بعدی سعی بر این بود که سرعت مدولاسیون را افزایش دهند. یک سال بعد آقابان وگل<sup>۱</sup> و دودل توانستند پهنهای پالس را تا ns ۴۳۰ کاهش دهند [۱۳]. دیگر کارهای دهه ۹۰ استفاده از نیمه هادی های گالیم آرسناید و سیلیکون برای رسیدن به پهنهای پالس ns ۱۰ [۱۴] و ۵ ns [۱۵] در فرکانس کاری THz ۱/۴ بود. دو عامل اصلی محدود کننده سرعت مدولاتورهای تمام نوری مبتنی بر نیمه هادی، پهنهای پالس لیزر پمپ و زمان باز ترکیب حامل در نیمه هادی است [۱۶]. البته عوامل محدود کننده ی دیگری همچون مقاومت حالت خاموش<sup>۲</sup>، موبیلیته و طول عمر حامل وجود دارد. اگرچه لیزرهای اخیر به اندازه کافی سریع هستند که بتوانند مدولاسیون تراهرتز را روی سیگنال THz اعمال کنند اما همچنان زمان بازترکیب حامل در نیمه هادی عامل محدود کننده سرعت در این نسل از مدولاتورها است. در سال ۲۰۰۵ مدولاتور تمام نوری با عمق مدولاسیون ۰/۲۵ تا ۱٪ پهنهای پالسی در مقیاس پیکو ثانیه ساخته شد [۱۷]. ساختار مدولاتور بصورت ساختار توری<sup>۳</sup> با ضخامت  $\mu\text{m}$  ۱۳۰ از InSb با دوره تنابع  $300 \mu\text{m}$  و عرض  $65 \mu\text{m}$  ارائه شد. کنترل نوری میزان حامل لایه InSb باعث تغییر در میزان عبور موج تراهرتز از ساختار توری می شود. با ارتقاء این روش نشان دادند که نیمه هادی می تواند برای تنظیم فعال خواص فرامواد در فرکانس های تراهرتز مناسب باشد. در سال ۲۰۰۶ فراموادهای حلقه نوسانگر شکاف دار<sup>۴</sup> بر بستر شبه عایق- گالیم آرسناید<sup>۵</sup> با فرکانس کاری THz ۵۶/۰ ساخته شد [۱۸]. عمق مدولاسیون برای این ساختار ۸۰٪ گزارش شده است. مقدار عمق مدولاسیون در این نوع از مدولاتور نسبت به مقادیر گزارش شده قبلی بهبود زیادی پیدا کرده است اما ضعف اساسی این مدولاتور سرعت پایین آن است که ناشی از زمان زیاد باز ترکیب در SI- GaAs می باشد. یک سال بعد چن<sup>۶</sup> و همکارانش ساختار مشابهی بر بستر ErAs/GaAs با فرکانس کاری THz ۷۵/۰ و پهنهای پالس ps ۲۰ همکارانش ساختار مشکل زمان بازترکیب بستر برطرف شد و این زمان به مقیاس پیکو ثانیه رسانده شد [۱۹]. یکی دیگر از کارهای انجام شده مدولاتور فرکانسی با ساختار هیبرید فرامواد/ نیمه هادی است [۲۰]. در این ساختار سیلیکون نشانده شده بر یاقوت کبود<sup>۷</sup> به عنوان ناحیه خازنی حلقه تشیدگر فراموادی استفاده شده است. شکل ۱-۱ این ساختار را نشان می دهد. فرکانس کاری این مدولاتور THz و عمق مدولاسیون ۷۰٪ است.

<sup>1</sup> Excitation

<sup>2</sup> Vogel

<sup>3</sup> Dark resistivity

<sup>4</sup> Grating

<sup>5</sup> Split ring resonator metamaterials

<sup>6</sup> Semi insulator-GaAs (SI- GaAs)

<sup>7</sup> Chen

<sup>8</sup> Silicon on Sappire (SOS)